

# АНОДНАЯ ОБРАБОТКА ОЛОВА В ЩЕЛОЧНЫХ ЭЛЕКТРОЛИТАХ

© Е.А.Беляновская, Д.А.Головко, Ф.И.Данилов

Украинский государственный химико-технологический университет, Днепропетровск

Поступило в Редакцию 24 марта 2006 г.

*Изучены процессы формирования анодных пленок на поверхности олова в растворах гидроксида натрия. Установлен оптимальный режим скоростного анодирования, позволяющий сформировать конверсионные покрытия с высокой коррозионной стойкостью.*

Стандартные технологии производства электролитически луженой жести предусматривают финишную обработку ее поверхности, которую проводят в растворах хромовой кислоты или дихромата натрия [1, 2]. Эти соединения являются высокотоксичными и, следовательно, экологически опасными. В последние годы в связи с ужесточением экологических норм в ряде стран ведется интенсивный поиск снижения токсичности используемых растворов. Однако разработанные электролиты имеют, к сожалению, сложный состав, а финишная обработка в них обладает, как правило, высокой энергоемкостью и низкой интенсивностью [3–5], что затрудняет ее включение в технологический цикл производства луженой жести. Альтернативой традиционным хроматным покрытиям могут служить пленки, образующиеся при анодной обработке олова в щелочных электролитах [6–12]. Практическая реализация процесса анодирования предполагает знание факторов, влияющих на формирование устойчивых пленок.

В связи с этим настоящая работа посвящена исследованию процессов формирования анодных пленок на олово и их функциональных свойств.

## Экспериментальная часть

Процессы, протекающие при анодной поляризации Sn, исследовали с помощью вольтамперометрии при линейной развертке потенциала. Скорость развертки потенциала составляла  $0.01 \text{ В}\cdot\text{s}^{-1}$ . Электрохимические измерения проводили в растворах гидроксида натрия марки ос.ч. Регистрацию вольтамперограмм осуществляли с помощью комплекта потенциостата ПИ-50-1.1 [13]. Перед измерениями поверхность рабочего электрода обрабатывали по методике, предложенной в работе [9].

Испытания коррозионной стойкости анодных пленок проведены методом регистрации кривых самопроизвольной активации [9–11] в растворах 3 мас% NaCl, 0.5 м. NaOH, 0.5 м. H<sub>2</sub>SO<sub>4</sub>, буферных растворах уксусной и лимонной кислот. В качестве критерия защитной способности при этом использовано

время активации  $\tau_a$ , в течение которого пленка разрушается в коррозионно-активной среде, что приводит к смещению потенциала до стационарной величины, соответствующей поверхности, свободной от оксидов. Устойчивость пленок тестировали также традиционным способом по методике [14] в кипящих сульфидсодержащих растворах уксусной кислоты двух составов: 0.52 м. CH<sub>3</sub>COOH + 0.01 м. Na<sub>2</sub>S (I) и в более жестких условиях – 2.08 м. CH<sub>3</sub>COOH + + 0.01 м. Na<sub>2</sub>S (II). Оценку защитных свойств конверсионных покрытий проводили по появлению темно-коричневых сернистых соединений олова.

Все потенциалы рабочих электродов измерены и приведены относительно хлорсеребряного электрода сравнения ЭВЛ1-М3.1 в насыщенном растворе хлорида калия. Температуру электролита  $298 \pm 0.2 \text{ K}$  поддерживали с помощью ультратермостата U-4.

На рис. 1 представлены поляризационные кривые, снятые в катодном направлении после предварительной анодной обработки оловянного электрода при различных потенциалах. Как видно, после обработки в интервале потенциалов  $-0.92$ – $-0.52 \text{ В}$  (рис. 1, *a*–*e*) на вольтамперограммах наблюдаются максимумы анодного тока и катодный пик при  $E \approx -1.1 \text{ В}$ . После обработки при более положительных потенциалах  $-0.32$ – $-0.08 \text{ В}$  (рис. 1, *g*–*e*) пик, соответствующий образованию соединений Sn(IV), не зарегистрирован, причем после анодирования при  $E \geq -0.08 \text{ В}$  не обнаружены максимумы как анодного растворения, так и катодного восстановления. Аналогичные закономерности наблюдаются на циклических вольтамперограммах системы Sn-NaOH.

Установленные закономерности можно объяснить, очевидно, тем, что интермедиатом при окислении олова до Sn(IV) является, как известно [15–18], гидроксид олова(II), который восстанавливается при  $E \approx -1.1 \text{ В}$ . При более положительных потенциалах  $E > -0.5 \text{ В}$ , как следует из результатов исследования поверхности оловянного электрода методом рентгеноискровой фотоэлектронной спектроскопии [19], происходит дегидратация анодной пленки, состоящей из гидроксидов Sn(II) и Sn(IV). Образующиеся при

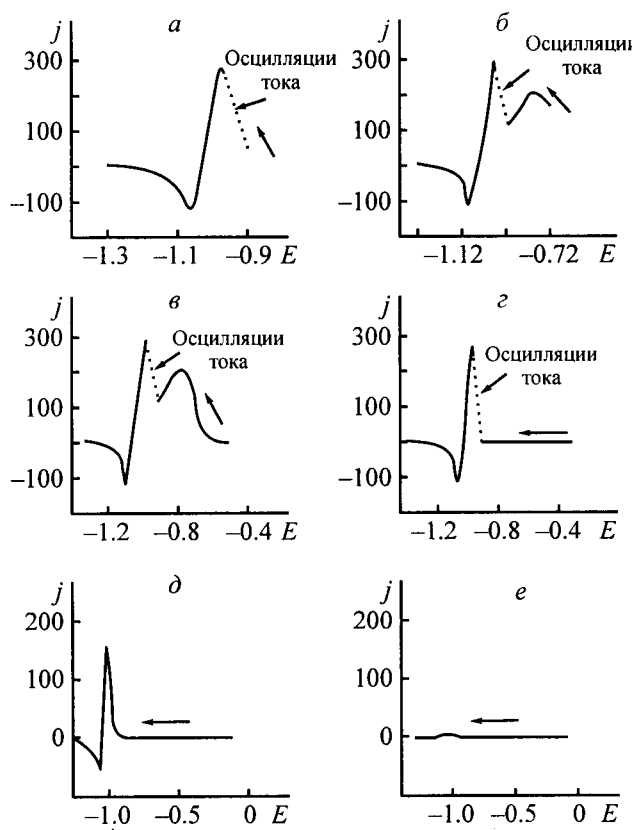


Рис. 1. Вольтамперограммы оловянного электрода в 0.5 м. NaOH (298 К), анодированного в течение 10 с при различных потенциалах.

$j$  – плотность тока ( $\text{A} \cdot \text{м}^{-2}$ ),  $E$  – потенциал (В).  
 $E$  (В):  $a = -0.92$ ,  $b = -0.72$ ,  $c = -0.52$ ,  $d = -0.32$ ,  $e = -0.12$ ,

$-0.08$ .

в этом оксидах, по-видимому, электрохимически устойчивы и катодно не восстанавливаются в интервале потенциалов  $-1.1 \div -0.5$  В.

Можно предположить, что увеличение содержания оксида Sn(IV), более устойчивого по сравнению с соединениями Sn(II), в поверхностной пленке должно приводить к улучшению ее коррозионной стойкости, а покрытия, полученные при анодировании олова, можно использовать в качестве защитных. Очевидно, что промышленные процессы анодирования оловянных покрытий следует осуществлять в условиях, исключающих образование гидратированных оксидов олова(II). Для управления процессом анодной обработки и оптимизации его режима необходимо выявить факторы, способствующие формированию коррозионно-стойких покрытий. Расширение области активного растворения, которое проявляется в увеличении анодных максимумов тока и количества электричества, им соответствующего, происходит при повышении концентрации гидроксид-ионов или температуры электролита. Для уменьшения скорости растворения пассивных пленок анодирование про-

водили в электролитах с низкой концентрацией гидроксид-ионов при пониженной температуре.

Известно, что повышение функциональных свойств конверсионных пленок на олве можно ожидать при введении в электролит пленкообразующих неорганических веществ [20, 21]. В связи с этим проведено исследование влияния добавок карбоната, вольфрамата, силиката и фосфата натрия на анодные вольтамперограммы оловянного электрода.

В присутствии карбоната натрия анодные максимумы тока и количество электричества  $Q$ , им соответствующее, практически не изменяются по сравнению с 0.5 м. NaOH. Напротив, добавка вольфрамата, силиката и фосфата натрия приводят к снижению и максимальных плотностей тока, и  $Q$ . При этом для реакций в области выделения кислорода в присутствии вольфрамат-, силикат- или фосфат-ионов наблюдается повышение перенапряжения по сравнению с раствором NaOH.

Тем не менее обнаруженные эффекты незначительны и не позволяют сделать однозначный вывод о защитных свойствах формируемых пленок. Поэтому для оптимизации процессов анодирования оловянных поверхностей в щелочных электролитах необходимы другие методы, позволяющие контролировать свойства формируемых пленок. Очевидно, в качестве критерия оптимизации целесообразно использовать их коррозионную стойкость. Время активации оловянных электродов в 0.5 м. NaOH, анодированных при  $E = 3.0$  В в течение 2 с в 0.5 м. растворе NaOH, содержащем различные добавки (0.5 моль·л<sup>-1</sup>), приведено ниже:

Добавка	$\tau_a$ , с	$\text{CO}_3^{2-}$	$\text{WO}_4^{2-}$	$\text{SiO}_3^{2-}$	$\text{PO}_4^{3-}$
–	64	64	160	735	105

Как показали результаты проведенных испытаний, добавка карбоната натрия практически не изменяет время активации  $\tau_a$  по сравнению с базовым электролитом. В присутствии вольфрамата или фосфата натрия время активации анодированного оловянного электрода несколько увеличивается. Тем не менее конверсионные покрытия, сформированные при скоростном анодировании в растворах 0.5 м. NaOH + 0.5 м.  $\text{Na}_2\text{WO}_4$  и 0.5 м. NaOH + 0.5 м.  $\text{Na}_3\text{PO}_4$ , так же как и в 0.5 м. NaOH и в 0.5 м. NaOH + 0.5 м.  $\text{Na}_2\text{CO}_3$ , при испытаниях в традиционных условиях не тормозят появление сернистых соединений олова. Очевидно, коррозионная стойкость анодных пленок, полученных при обработке в этих электролитах, не удовлетворяет существующим требованиям.

Время активации оловянного электрода, анодированного в растворе 0.5 м. NaOH + 0.5 м.  $\text{Na}_2\text{SiO}_3$ , превосходит  $\tau_a$  обработанного в базовом электролите примерно на порядок. Пленки, образовавшиеся

при скоростной анодной обработке в щелочных силикатсодержащих электролитах, тормозят выделение сернистых соединений олова не только в традиционных (мягких), но и в более жестких условиях.

Значительное улучшение коррозионной стойкости анодных пленок в силикатсодержащих электролитах объясняено включением соединений кремния в формируемое покрытие, что подтверждают результаты качественного анализа. Вероятно, на электроде происходит образование силикатов олова [22].

В качестве регулятора свойств оксидно-гидроксидных покрытий могут быть использованы и органические соединения. Так, добавка в электролит анодирования полиэтиленгликоля, как известно [23], селективно адсорбирующегося на окисленной поверхности олова, позволяет повысить время активации примерно в 2 раза. Вероятно, присутствие полимерных флокулянтов благоприятно изменяет коллоидно-химические условия формирования оксидно-гидроксидной пленки и сказывается на повышении времени активации.

На основе установленных закономерностей разработан электролит скоростного анодирования оловянных покрытий следующего состава (моль·л<sup>-1</sup>): NaOH – 0.25–0.50, Na<sub>2</sub>SiO<sub>3</sub> – 0.25–1.0 [оптимальный состав (моль·л<sup>-1</sup>)]: NaOH – 0.25–0.5, Na<sub>2</sub>SiO<sub>3</sub> – 0.75–1.0], который может дополнительно содержать 1–2 г·л<sup>-1</sup> полиэтиленгликоля [11]. Коррозионно-стойкие конверсионные покрытия в нем формируются при плотностях тока 500–1000 А·м<sup>-2</sup> и низких температурах, не превышающих 298 К.

При сравнительных испытаниях защитных свойств пленок, полученных при анодной обработке в силикатсодержащих электролитах и путем традиционного катодного хроматирования [2], установлено, что время активации хроматированного электрода значительно меньше, чем анодированного (рис. 2). При этом потенциалы анодно обработанных в щелочных силикатсодержащих растворах электродов более положительны по сравнению с хроматированными образцами (рис. 2, кривые 1, 2). Близость потенциалов хроматированных и немодифицированных электродов свидетельствует о пористости пленок, образующихся при данной обработке (рис. 2, кривые 2, 3). Более того, устойчивость в растворах хлорида натрия предлагаемых анодных пленок значительно улучшается при хранении анодированных образцов [24].

Согласно результатам проведенных испытаний в традиционном растворе 0.52 м. CH<sub>3</sub>COOH + 0.01 м. Na<sub>2</sub>S, рекомендованном в работе [14], сульфиды олова не обнаружены как на образцах, оксидированных в хроматных средах, так и на образцах, анодированных в щелочных силикатсодержащих электролитах,

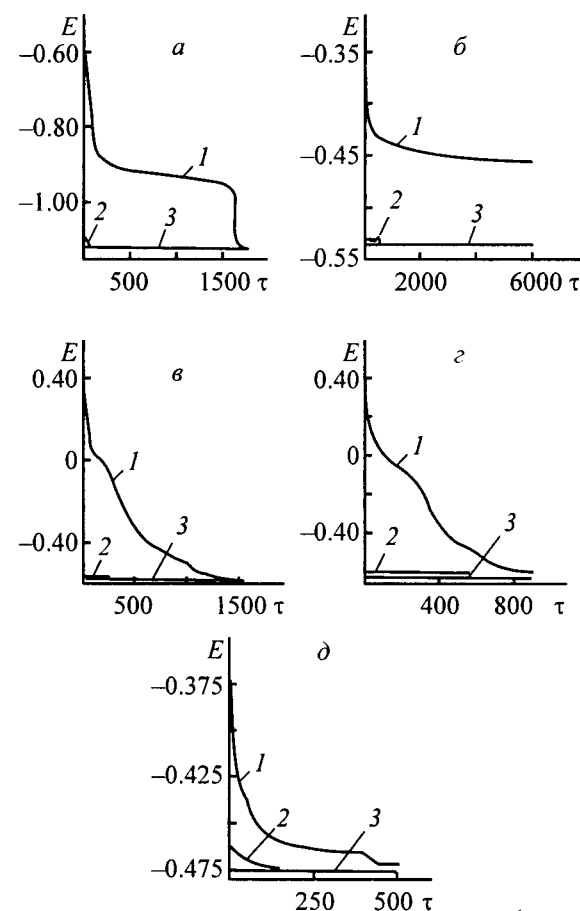


Рис. 2. Кривые самопроизвольной активации оловянного электрода в 0.5 м. NaOH (a), 3%-ном NaCl (b), 0.5 м. CH<sub>3</sub>COOH + 0.5 м. CH<sub>3</sub>COOK (c), 0.5 м. C<sub>6</sub>H<sub>5</sub>O<sub>7</sub>H<sub>3</sub> + +0.5 м. C<sub>6</sub>H<sub>5</sub>O<sub>7</sub>Na<sub>3</sub> (c) и 0.5 м. H<sub>2</sub>SO<sub>4</sub> (d), предварительно обработанного различными методами.

E – потенциал (В), τ – время (с).

Метод обработки: 1 – анодирование в щелочном силикатсодержащем электролите в течение 2 с [11], 2 – катодное хроматирование в течение 2 с [2]; 3 – без обработки.

что указывает на сплошность сформированных пленок. Очевидно, что при повышении концентрации уксусной кислоты до 2.08 моль·л<sup>-1</sup> скорость растворения оксидно-гидроксидных покрытий увеличивается. После испытаний в растворе 2.08 м. CH<sub>3</sub>COOH + 0.01 м. Na<sub>2</sub>S предварительно химически или катодно хроматированные образцы покрыты налетом SnS. Пленки, полученные при скоростной обработке ( $t_{\text{п}} = 2$  с) в растворах, содержащих силикат-ионы и полиэтиленгликоль, тормозят образование сернистых соединений на поверхности анодированных электродов, что свидетельствует о высоких защитных свойствах полученных покрытий.

Таким образом, коррозионная стойкость конверсионных покрытий, сформированных на олове при скоростной анодной обработке, не только удовлетворяет существующим требованиям, но и значительно превосходит традиционные хроматные.

## Выводы

- При анодной обработке олова в щелочных электролитах могут быть получены пленки, обладающие высокой устойчивостью в агрессивных средах, причиной которой является формирование конверсионных покрытий, состоящих преимущественно из оксида  $\text{SnO}_2$ .
- Коррозионную стойкость конверсионных покрытий, образующихся при скоростной анодной обработке, можно улучшить, введя в электролит анодирования силикат, вольфрамат или фосфат щелочного металла и(или) органическое соединение, которое селективно адсорбируется на гидратированных оксидах олова. Улучшение защитных свойств анодных пленок в присутствии  $\text{Na}_2\text{SiO}_3$ ,  $\text{Na}_3\text{PO}_4$  и  $\text{Na}_2\text{WO}_4$  связано с включением ионов  $\text{SiO}_3^{2-}$ ,  $\text{PO}_4^{3-}$  и  $\text{WO}_4^{2-}$  в формируемое покрытие. Наиболее эффективной добавкой из использованных соединений является силикат натрия.
- Разработаны рекомендации к составлению электролита скоростного анодирования. Установлены оптимальный состав электролита и режим анодной обработки.
- Защитные свойства сформированных по предложенной технологии пленок соответствуют действующим стандартам и не только не уступают, но и значительно превосходят традиционные хроматные покрытия.

## Список литературы

- [1] Черняховская И.А., Вилкул С.В., Черкасский Р.И., Кушнарев А.В. // Пр-во проката. 2000. № 5. С. 19–21.
- [2] Кацер И.М., Илалова Р.Х., Гуляева Г.С. и др. // Сталь. 1984. № 11. С. 73–75.
- [3] Парамонов В.А., Филатова Н.Г. // Защита металлов. 2004. Т. 40. № 3. С. 295–298.
- [4] Пат. 1445352 ЕПВ. МПК<sup>7</sup> C 25 D 11/34. Метод формирования пассивационного слоя на детали, имеющей поверхность, покрытую оловом.
- [5] Пат. 5498300 США, МКИ<sup>6</sup> C 23 C 22/10, C 23 C 22/23.

Состав и способ обработки поверхности электролитически луженой жести.

- [6] Левин А.И., Простаков М.Е., Кочергин В.П. // ЖФХ. 1960. Т. 34. № 5. С. 1117–1120.
- [7] Левин А.И., Простаков М.Е., Кочергин В.П. // ЖПХ. 1960. Т. 33. № 9. С. 2102–2108.
- [8] Левин А.И., Простаков М.Е. // ЖВХО им. Д.И. Менделеева. 1963. Т. 8. № 5. С. 524–529.
- [9] Головко Д.А., Беляновская Е.А. // Вопр. химии и хим. технологии. 1999. № 1. С. 84–87
- [10] Головко Д.А., Беляновская Е.А., Данилов Ф.И. // Фізіко-хімічна механіка матеріалів. 2000. № 1. С. 307–310.
- [11] Пат. 49220 Украина, МПК<sup>7</sup> C 25 D 11/34. Електроліт для анодної фінішної обробки олов'яних покриттів.
- [12] Головко Д.А., Беляновская Е.А. // Вопр. химии и хим. технологии. 1999. № 1. С. 83–84.
- [13] Головко Д.А., Беляновская Е.А., Криворучко В.М., Данилов Ф.И. // Материалы IV Междунар. конф. «Проблемы коррозии и противокоррозионной защиты материалов» (Коррозия 98). Львов, 1998. С. 448–450.
- [14] Виткин А.И. Производство электролитически луженой жести. М.: Металлургиздат, 1959. 309 с.
- [15] Нгуен Дау К., Сухотин А.М. // ЖПХ. 1990. Т. 63. № 8. С. 1818–1821.
- [16] Нгуен Дау К., Сухотин А.М. // ЖПХ. 1990. Т. 63. № 8. С. 1737–1743.
- [17] Рейнгеверц М.Д., Сергеева Н.А. // ЖПХ. 1996. Т. 69. № 11. С. 1862–1868.
- [18] Huang B.X., Tornatore P., Li Y.-S. // Electrochim. Acta. 2000. V. 46. N 5. P. 671–679.
- [19] Ansell R.O., Dickinson T., Povey A.F., Sherwood P.M.A. // J. Electrochem. Soc. 1977. Vol. 124. N 9. P. 1360–1364.
- [20] Черненко В.И., Снежко Л.А., Папанова И.И. Получение покрытий анодно-искровым электролизом. Л.: Химия, 1991. 128 с.
- [21] Справочник по электрохимии / Под ред. А.М. Сухотина. Л.: Химия, 1981. 488 с.
- [22] Головко Д.А., Беляновская Е.А., Данилов Ф.И. // Вісник Дніпропетровського університету. 2000. Вип. 5. С. 50–56.
- [23] Нечаев Е.А. Хемосорбция органических веществ на оксидах и металлах. Харьков: Выща шк., 1989. 144 с.
- [24] Головко Д.А., Беляновская Е.А., Данилов Ф.И. // Вопр. химии и хим. технологии. 2000. № 1. С. 124–127.